

ارزیابی شبکه عصبی مصنوعی و مدل تجربی ایرماک در تخمین تابش خالص خورشیدی روزانه در اقلیم سرد و نیمه‌خشک (مطالعه موردی: همدان)

علی‌اکبر سبزی پرور^{۱*}، بهناز ختار^۲

تاریخ دریافت: ۹۲/۰۶/۰۲ تاریخ پذیرش: ۹۳/۰۲/۲۷

^۱- استاد هواشناسی گروه مهندسی آب، دانشگاه بولی سینا، همدان

^۲- دانشجوی سابق کارشناسی ارشد آبیاری و زهکشی، دانشگاه بولی سینا، همدان

* مسئول مکاتبات، پست الکترونیکی: swsabzi@basu.ac.ir

چکیده

یکی از عوامل مهم و تأثیرگذار در شار حرارتی خاک و شدت تبخیر- تعرق، تابش خالص خورشیدی می‌باشد. تابش خالص تفاوت بین شارهای تابش ورودی و خروجی در طول موج‌های بلند و کوتاه می‌باشد. اندازه‌گیری تابش خالص به علت مشکلات واسنجی و هزینه آن دشوار است. بنابراین تابش خالص اغلب از معادلات نیمه‌تجربی مبتنی بر مشاهدات تابش طول‌موج کوتاه خورشیدی، فشار بخار و دمای هوا پیش‌بینی می‌شود. با توجه به اینکه شبکه عصبی در پیش‌بینی پارامترهای هواشناسی و هیدرولوژی از عملکرد مناسبی برخوردار است، لذا در این تحقیق سعی شد تا با استفاده از شبکه عصبی مقدار تابش خالص روزانه همدان که دارای اقلیم سرد و نیمه‌خشک می‌باشد تخمین زده شود و با داده‌های اندازه‌گیری شده تابش خالص روزانه ایستگاه کلیماتولوژی دانشگاه بولی سینا در طول دوره ۱۳ ماه (آذر ۱۳۹۰- آذر ۱۳۹۱) مقایسه شود. همچنین در این پژوهش مدل تجربی ایرماک نیز برای برآورد تابش خالص روزانه مورد واسنجی و استفاده قرار گرفت. بدین منظور، در طراحی شبکه عصبی ۱۱ پارامتر هواشناسی مؤثر در تابش خالص به عنوان ورودی مدل به کار گرفته شد. پس از انجام آزمون و خطا در انتخاب مدل بهینه، شبکه عصبی با آرایش ۱۱-۲-۱ برای پیش‌بینی تابش خالص مورداً استفاده قرار گرفت. ۷۰ درصد داده‌ها جهت آموزش و ۳۰ درصد داده‌ها به منظور اعتبارسنجی مدل استفاده گردید. برآوردهای مدل ایرماک نیز به صورت روزانه ارائه گردید. نتایج تحقیق نشان داد که شبکه عصبی با ضریب تعیین (R^2) ۰/۹۵ و مقدار خطا $RMSE$ معادل ۱۳۷۷ (وات بر مترمربع در روز) عملکرد و دقت بهتری در تخمین تابش خالص در مقایسه با مدل ایرماک با ضریب تعیین ۰/۵۵ و مقدار آماره $RMSE$ معادل ۱۳۶۱۴ (وات بر مترمربع در روز) دارا می‌باشد.

واژه‌های کلیدی: تخمین، شبکه عصبی مصنوعی، لاگر تابش خالص خورشیدی، مدل ایرماک

Evaluation of Artificial Neural Network (ANN) and Irmak Experimental Models to Predict Daily Solar Net Radiation (R_n) in Cold Semi-arid Climate (Case study: Hamedan)

AA Sabziparvar^{1*}, B Khataar²

Received: 24 August 2013 Accepted: 17 May 2014

¹Prof. in Meteorology, Dept. of Water Engineering, Bu-Ali Sina University, Hamedan, Iran

²Former M.Sc. Student of Irrigation and Drainage Engineering, Bu-Ali Sina University, Hamedan, Iran

* Corresponding Author, Email: swsabzi@basu.ac.ir

Abstract

Solar net radiation (R_n) is one of the most important factors influencing soil heat flux and evapotranspiration rate process. This parameter is derived from the difference between downward and upward radiation fluxes reaching the earth's surface. Field measurements of R_n are cost effective and difficult to maintain. Therefore, in the most cases, R_n is estimated by empirical, semi-empirical and physical-based models. Recent studies show that the artificial neural network (ANN) is a reliable tool for estimating daily R_n with reasonable performance for the area where lack or shortage of field R_n exists. Using Irmak model and ANN approach, we tried to estimate daily R_n for one of the cold semi-arid sites located in Hamedan. For model evaluations, R_n data were measured in hourly base during December 2011 to December 2012 at Bu-Ali Sina University weather site. In this study, we used 11 daily meteorological parameters as the inputs of ANN to generate the R_n estimates (70% of the data set for training data and 30% for model validation). The results showed that the best model performance of ANN was obtained from a 11-2-1 architecture and the sigmoid function based on the back-propagation training algorithm. The least ANN error was observed by employing 10000 iterations for the training step and two neurons in the hidden layers. The results indicated that the daily net radiation from ANN was more accurate ($R^2 > 0.95$) than the previously recommended Irmak model.

Keywords: ANN, Estimation, Irmak model, Solar net radiation logger

مقدمه درنتیجه یک عامل ورودی در معادله پنمن مانتیث^۲ می-باشد (مانتیث و زئیس ۱۹۶۲). تابش خورشیدی متغیر هواشناسی است که بر بسیاری از فرآیندهای آب و خاک از جمله نیاز آبی گیاهان اثر می‌گذارد. متأسفانه علی‌رغم اهمیت آن اندازه‌گیری آن به صورت محدود

دسترسی به مقادیر تابش خالص^۱ در بسیاری از زمینه-ها از جمله کشاورزی، هواشناسی، آب‌شناسی و معماری دارای اهمیت بهسزایی است. یکی از عوامل مهم و تأثیرگذار در تبخیر-تعرق تابش خورشیدی است و

² Penman-Monteith

¹ Net radiation

برای پیش‌بینی تابش جهانی خورشیدی از سوی پژوهشگران فراوانی به کاررفته است (زارزالجو و همکاران ۲۰۰۵، موبیرو و باندا ۲۰۰۸). همه این کوشش‌ها کمبیش حکایت از برتری و توانمندی زیاد این مدل نسبت به دیگر مدل‌های به کاررفته دارند. مهندس و همکاران (۱۹۹۸) و لوپز و همکاران (۲۰۰۱) نخستین کسانی بودند که از شبکه‌های عصبی برای پیش‌بینی تابش خورشیدی بهره جستند. سبزی‌پرور و علیائی (۱۳۹۰) به پیش‌بینی تابش کل خورشیدی با استفاده از شبکه عصبی در ایستگاه تبریز پرداختند. نتایج آن‌ها توانایی زیاد شبکه عصبی در پیش‌بینی این پارامتر هواشناسی را نشان داد. کاراسکو و اورتگا فاریاس (۲۰۰۸) جهت ارزیابی مدل تابش خالص در تاکستان‌های اسپانیا از دو مدل تخمینی تابش خالص استفاده نمودند. نتیجه مطالعات آن‌ها مقادیر کم خطأ را نشان دادند. همچنین این تحقیق ثابت کرد که دمای آستانه گیاه اثری در افزایش تابش خالص ندارد. بلون کوئیست و همکاران (۲۰۱۰) جهت تخمین تابش خالص از مدل‌های ساعتی و روزانه استفاده کردند و مقادیر اندازه‌گیری شده را با مقادیر محاسباتی مقایسه نمودند. نتایج آن‌ها نشان داد که مقدار تابش خالص توسط مدل‌های ساعتی بالاتر از مقادیر اندازه‌گیری شده بود در حالی که مقدار تابش خالص روزانه محاسبه شده به مقادیر اندازه‌گیری نزدیکتر بود. دی لانگ و همکاران (۲۰۱۰) تابش خالص روزانه را با استفاده از تصاویر ماهواره مودیس در شمال چین تخمین زدند. نتایج نشان داد که استفاده از تصاویر ماهواره‌ای در برآورد تابش خالص از دقت مناسبی برخوردار است. لینارز و همکاران (۲۰۱۱) با استفاده از شبکه عصبی مصنوعی تابش کل خورشیدی را برآورد نمودند و نتایج آن‌ها حاکی از عملکرد بالای این مدل بر تخمین تابش خالص بود. گرالدو و همکاران (۲۰۱۱) در دو منطقه اسپانیا و برزیل از شبکه عصبی به جای شبکه رادیومتری به علت هزینه‌بر بودن و مشکل در واسنجی استفاده نمودند. نتایج آماری این تحقیق نشان داد که داده‌های هواشناسی و شبکه عصبی در تخمین واقعی تابش خالص مؤثر هستند. ژوان و همکاران (۲۰۱۲) به‌منظور

انجام می‌شود (سلطانی و همکاران ۱۳۸۴). تابش خالص یک جزء کلیدی در تابش سطح است و از جمع تابش پایین‌روندۀ ورودی و بالاروندۀ خروجی موج‌های بلند و موج‌های کوتاه رسیده به زمین تشکیل شده است (رابطه ۱). این پارامتر در فرآیندهای تبخیر، شار حرارتی زمین و هوا و فتوستنتز دخالت دارد اما به‌دلیل هزینه‌بر بودن و مشکلات واسنجی از مدل‌هایی که بر اساس تابش موج‌کوتاه ورودی و دمای هوا و درصد رطوبت می‌باشد تخمین زده می‌شود (بلون گوئیست و همکاران ۱۳۹۰).

$$R_n = (S_{Wi} - S_{Wo}) + (L_{Wi} - L_{Wo}) \quad [1]$$

در رابطه فوق: R_n تابش خالص، S_{Wi} تابش موج‌کوتاه ورودی، S_{Wo} تابش موج‌کوتاه خروجی، L_{Wi} تابش موج‌بلند ورودی، L_{Wo} تابش موج‌بلند خروجی می‌باشد. امروزه به‌دلیل مشکلات ذکر شده، از مدل‌های تجربی و نیمه‌تجربی جهت تخمین این پارامتر استفاده می‌شود. اغلب مدل‌های رایجی که تابش خالص را تخمین می‌زنند، به‌دلیل نبود داده‌های مشاهداتی، بدون توجه به شرایط اقلیمی و جغرافیایی منطقه، با استفاده از مدل‌های واسنجی نشده تخمین زده می‌شوند، که ممکن است برای شرایط اقلیمی منطقه موردنظر مناسب نباشد (میرگلوبی بیات ۱۳۹۰). بنابراین برای تخمین و برآورد صحیح تابش خالص، نیاز به واسنجی مدل‌های مربوطه باشد. همچنین داده‌های قابل‌اطمینان در تابش خالص در مقیاس‌های مکانی و زمانی موردنیاز در دسترس نیستند. امروزه استفاده از روش‌های سنجش از دور برای رفع این مشکلات پیشنهادشده است (سامانی و همکاران ۲۰۰۷). در سال‌های اخیر، کارهای بزرگی برای گسترش مدل‌های همانندسازی و پیش‌بینی که بر پایه روش‌های هوش مصنوعی و سامانه‌های هوشمند بنا نهاده شده‌اند، صورت گرفته است. از جمله این مدل‌ها، مدل شبکه‌های عصبی مصنوعی^۱ است که کاربرد روزافزونی در مدل‌سازی و همانندسازی پدیده‌های گوناگون دارد. تاکنون مدل شبکه عصبی مصنوعی

^۱ Artificial Neural Networks

می‌شود مؤثرترین پارامترهای هواشناسی اثرگذار بر مقدار تابش خالص خورشیدی در سطح زمین شناسایی و انتخاب گردند و با استفاده از آن‌ها در ساختار شبکه عصبی، تابش خالص روزانه در منطقه همدان پیش‌بینی شود. همچنین تابش خالص روزانه با استفاده از روش ایرماک برآورد گردد و درنهایت نتایج به دست آمده از هر دو مدل واسنجی شده با داده‌های اندازه‌گیری شده تابش خالص در منطقه همدان مورد مقایسه و ارزیابی قرار گیرد.

مواد و روش‌ها

داده‌ها و منطقه موردبررسی

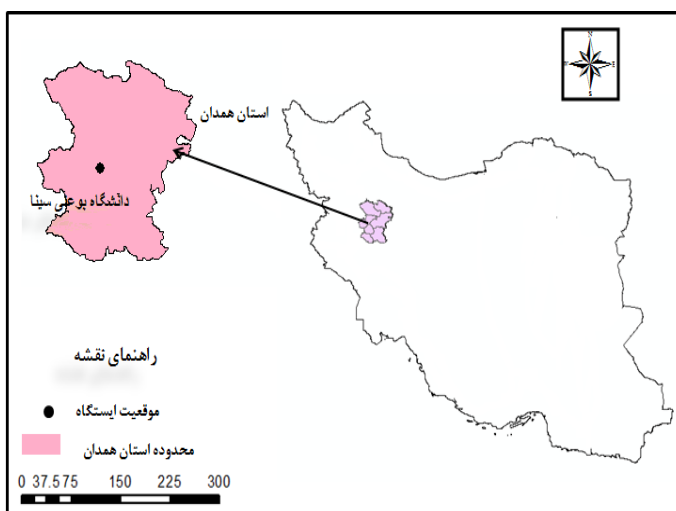
در این مطالعه تابش خالص همدان با موقعیت جغرافیایی ۳۳ درجه و ۵۹ دقیقه تا ۳۵ درجه و ۴۸ دقیقه عرض شمالی و ۴۷ درجه و ۳۴ دقیقه تا ۴۹ درجه و ۳۶ دقیقه طول شرقی و با ارتفاع ۱۷۴۱ متر از سطح دریا موردبررسی قرار گرفت. اقلیم همدان با توجه به اقلیم بندی کوپن جزء مناطق سرد و نیمه‌خشک تقسیم‌بندی می‌شود. از داده‌های تابش خالص روزانه اندازه‌گیری شده توسط دستگاه لاغر تابش خالص واقع در ایستگاه کلیماتولوژی دانشکده کشاورزی بوعلی سینا همدان با طول جغرافیایی ۴۸ درجه و ۲۸ دقیقه و عرض جغرافیایی ۳۴ درجه و ۴۸ دقیقه استفاده شد. پارامترهای دیگر هواشناسی از ایستگاه سینوپتیک فرودگاه همدان با طول جغرافیایی ۴۸ درجه و ۳۲ دقیقه و عرض جغرافیایی ۳۴ درجه و ۵۱ دقیقه اخذ شد. موقعیت جغرافیایی ایستگاه‌ها در شکل ۱ آورده شده است. برای این منظور از داده‌های هواشناسی در طول ۱۲ ماه از دسامبر ۲۰۱۱ تا دسامبر ۲۰۱۲ استفاده گردید. دستگاه لاغر تابش خالص، تابش کل، تابش طول موج بلند و رویدی و خروجی، تابش خالص رسیده به زمین و ورودی و خروجی، تابش خالص رسیده به زمین و درجه حرارت هوا را حدوداً هر ۸ دقیقه و ۱۰ ثانیه یکبار در طول شباهه روز اندازه‌گیری می‌کند. نمایی از لاغر تابش خالص در شکل ۲ نشان داده شده است. برای انجام این تحقیق، ابتدا برای داشتن داده‌های تابش خالص روزانه تجمعی، از کل داده‌های اندازه‌گیری شده

تخمین و روندیابی تابش خالص در مقیاس جهانی، از تصاویر سنجش‌از دور در دوره آماری ۲۰۱۰-۱۹۸۰ استفاده نمودند. نتایج آن‌ها نشان داد که مقدار تابش خالص در طی این دوره کاهش‌یافته است. کمبزیدیس و همکاران (۲۰۱۲) تغییرپذیری تابش کوتاه پایین‌رونده خورشیدی را در قاره آسیا بررسی کردند. نتایج نشان داد که در طی ماههای مختلف و فصل‌های مختلف به دلیل تغییرات اقلیمی، تغییرات تابش کوتاه زیاد می‌باشد. نوتن و همکاران (۲۰۱۳) از شبکه عصبی مصنوعی در جهت تخمین ده مؤلفه تابش خورشیدی استفاده کردند. نتایج آن‌ها مقادیر کم نمایه‌های خطای حاصل از مدل شبکه عصبی را نشان داد. مدل‌های تجربی برای مناطق مختلف مانند پنمن فائو مانتیث، بریلند، رگرسیون مبنا و ایرماک برای برآورد تابش خالص خورشیدی پیشنهاد شده‌اند که با توجه به اقلیم منطقه پارامترهای ورودی مختلفی را دارا هستند. ایرماک و همکاران (۲۰۰۳) جهت پیش‌بینی تابش خالص روزانه دو مدل تجربی را ارائه کردند که به کمترین داده‌های اقلیمی برای تخمین تابش خالص نیاز داشت. در این تحقیق معادلات در مکان‌های مختلف اقلیمی شامل مناطق مرطوب، خشک، ساحلی و درون‌مرزی در ایالات متحده ارزیابی شدند. مقادیر تابش خالص در هر دو مدل روزانه محاسبه شدند و با مقایسه با تابش خالص روزانه محاسبه شده توسط معادله پنمن مانتیث فائو ۱۵۶ دارای خطای استاندارد نسبتاً پایین و ضرایب تعیین بالایی بود. مقایسه این دو با هم نشان دادند که معادلات پیشنهادی به خوبی و یا حتی بهتر از مدل پنمن مانتیث فائو ۵، تابش خالص را تخمین می‌زنند.

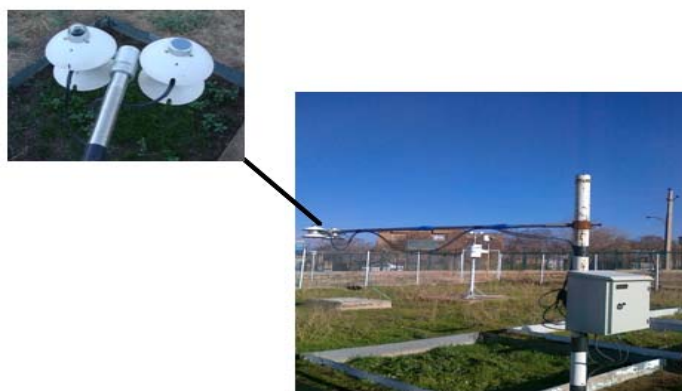
در این پژوهش فرض می‌گردد که تابش خالص همبستگی و ارتباط معنادار زیادی با پارامترهای هواشناسی از جمله تابش کل خورشیدی و دمای هوا داشته باشد. با توجه به اینکه تاکنون پیش‌بینی و تخمین تابش خالص در ایران صورت نگرفته و همچنین تحقیقات کمی در جهان در زمینه مدل‌سازی تابش خالص خورشیدی صورت گرفته است، لذا در این تحقیق سعی

ازین رو، نزدیک ۷۰ درصد داده‌ها برای آموزش و ۳۰ درصد داده‌ها برای آزمون کارآیی شبکه به کار گرفته شد (سبزی‌پرور و علائی ۱۳۹۰).

در طول شبانه‌روز با توجه به فاصله‌های زمانی ثبت شده توسط لagger، انتگرال‌گیری شد. داده‌های گردآوری شده در دوسته جدا از هم، در برگیرنده داده‌های آموزشی و داده‌های واسنجی جای گرفتند.



شکل ۱- موقعیت جغرافیایی منطقه مورد مطالعه و ایستگاه‌های مورد استفاده.



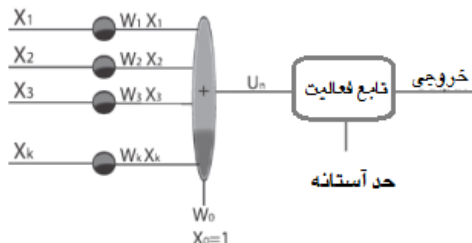
شکل ۲- نمایی از دستگاه لagger تابش خالص واقع در ایستگاه کلیماتولوژی دانشگاه بولن سینا.

یادگیری، تعمیم‌دهی، پردازش موازی و تصمیم‌گیری، قابلیت حل کامل مسائلی پیچیده با ماهیت خطی یا غیرخطی را خواهند داشت (استرجو و سیگانوس ۲۰۰۸).

یک نرون مصنوعی مدل ریاضی ساده‌شده یک عصب زیستی است. عملیاتی که در هر نرون صورت می‌گیرد به این صورت است که نرون همه ورودی‌هایی را که به

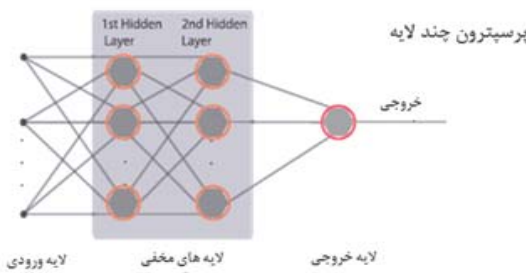
شبکه‌های عصبی مصنوعی (ANNs)

شبکه‌های عصبی مصنوعی شامل یک الگوی پردازش اطلاعات و ابزاری قدرتمند به منظور شبیه‌سازی الهام گرفته از نرون‌های زیستی است. با این رویکرد، شبکه‌های عصبی مصنوعی همانند ساختار زیست‌شناختی مغز انسان با ترکیب ویژگی‌هایی همچون قدرت



شکل ۳- طرح‌واره یک نرون در شبکه عصبی.

نرون در ابتدا از یک افزاینده که از ضرب ورودی‌ها توسط ضریب‌های سری‌هایی که وزن سینوپتیکی نام دارند تشکیل می‌شود. هدف از الگوریتم آموزش به‌دست آوردن مقادیر بهینه برای وزن‌های سینوپتیکی می‌باشد. در بخش دوم نرون هدف پیدا کردن تابع فعال می‌باشد که رفتار غیرخطی مدل شبکه عصبی را به ما نشان می‌دهد. شکل ۴ طرح یک پرسپترون چندلایه را نشان می‌دهد.



شکل ۴- طرح‌واره یک پرسپترون چندلایه در شبکه عصبی.

فرآیند آموزش در شبکه‌های عصبی در واقع به معنای روزآمد کردن اتصالات بین نرون‌ها است. تاکنون الگوریتم‌های گوناگونی برای آموزش شبکه عصبی عرضه شده است که معروف‌ترین آن‌ها الگوریتم و قاعده انتشار به عقب^۷ است. در این روش خطای خروجی مدل به عقب و به داخل سامانه برگردانده می‌شود تا شرایط تجدید سازگاری بیشتر وزن‌ها صورت گیرد. بدین منظور داده‌های مجموعه آموزش مشکل از زوج ورودی-خرجی که شامل اطلاعات آماری از پدیده موردنظر هستند، برای اصلاح وزن‌ها

سلول رسیده است جمع می‌کند، آن را از یک تابع حرک عبور می‌دهد و درنهایت خروجی نرون را ایجاد می‌کند (سبزیپرور و علیائی ۱۳۹۰).

شبکه‌های عصبی از چندین لایه تشکیل می‌شوند. لایه‌های ابتدایی و انتهایی به ترتیب لایه ورودی و لایه خروجی نام دارند، همچنین بین این دو لایه ممکن است یک یا چند لایه مخفی وجود داشته باشد. خروجی شبکه به صورت زیر مدل می‌شود:

$$y_i = \sum_{j=1}^n w_{ij} x_{ij} + b_i \quad [2]$$

که در آن: $x_{i,j}$ سینکتال ورودی از زمین نرون (در لایه ورودی) و $w_{i,j}$ وزن اتصال نرون j به نرون i (در لایه مخفی) است. b_i نیز اربی^۵ نرون i خواهد بود. طی فرایند آموزش، این وزن‌ها و مقادیر ثابتی که با آن‌ها جمع می‌شود و در اصطلاح اربی نامیده می‌شوند، به‌طور پی‌درپی تغییر می‌کند تا خطأ به کمترین مقدار خود برسد. پس از محاسبه هر y_i ، شبکه تحت یک تابع حرک شروع به اصلاح آن می‌کند. تابع حرک نوعاً یک تابع یکنواخت کراندار مانند تابع استاندارد سیگموئید است که به صورت زیر تعریف می‌شود (علیائی و همکاران ۱۳۸۷):

$$f_x = 1 / [1 + \exp(-x)] \quad [3]$$

در این مطالعه از پرسپترون چندلایه^۶ در شبکه عصبی استفاده گردید که شامل نرون‌هایی است که در چندلایه قرار گرفته‌اند. شکل ۳ طرز قرارگیری نرون‌ها را نشان می‌دهد.

⁷ Back propagation

⁵ Bias

⁶ Multilayer Percetpron

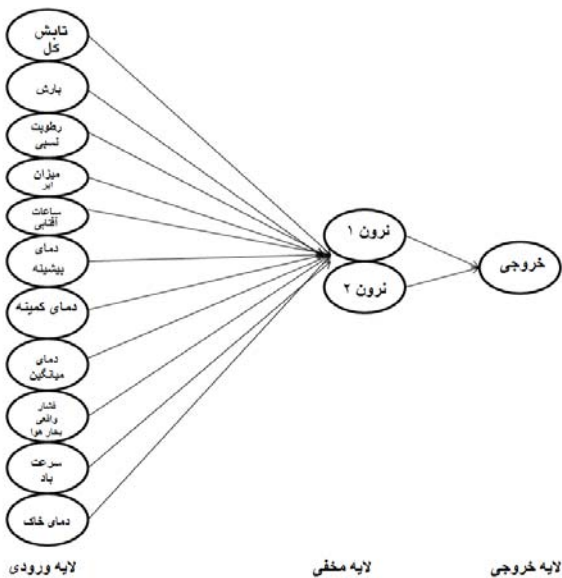
$$R_n = -0.054T_{max} + 0.11T_{min} + 0.462R_{Measurement} - 49.243dr + 50.891 \quad [4]$$

که در آن:

R_n : تابش خالص خورشیدی ($MJm^{-2}day^{-1}$) ، T_{max} و T_{min} به ترتیب دمای کمینه و دمای بیشینه روزانه ($^{\circ}C$) $R_{Measurement}$: تابش اندازه‌گیری شده ($MJm^{-2}day^{-1}$) ، dr : ضریب فاصله زمین تا خورشید

$$dr = 1 + 0.039 \left[\frac{2\pi}{365} \right] \quad [5]$$

J: شماره روزشمار سال میلادی از اول ژانویه (J=۱) ، اول ژانویه (J=۱) می باشد.



شکل ۵- مدل شبکه عصبی پرسپیترون چندلایه با ذکر پارامترهای ورودی و خروجی به کاررفته در تحقیق.

لازم به ذکر است که واحد مورداستفاده در این پژوهش برای تابش‌های خورشیدی بر حسب وات بر مترمربع در روز ($Wm^{-2}day^{-1}$)، دمای هوا بر حسب درجه سلسیوس، میزان ابر بر حسب اوکتا (Octa)، ساعات آفتابی بر حسب ساعت و فشار واقعی بخار هوا بر حسب کیلو پاسکال می باشد. بنابراین در این تحقیق سعی شد تا با استفاده از پارامترهای موردنیاز، تابش خالص حاصل از مدل ایرماک با داده‌های تابش خالص اندازه‌گیری شده و مدل

در شبکه و برای رساندن مجموع مربع خطأ^۸ به کمینه مقدار خود از راه الگوریتم فوق مورد آموزش قرار می‌گیرند. همچنین به منظور بررسی دقیق شبکه آموزش یافته لازم است آزمون شبکه صورت گیرد. این کار با دادن زوج داده‌های مجموعه آزمون به شبکه و محاسبه میزان خطای شبکه صورت می‌گیرد. به طورکلی ویژگی‌های یک شبکه عصبی مصنوعی، ساختار شبکه و روش آموزش شبکه، با نوع تابع حرک نرون‌ها مشخص می‌شود (علیائی و همکاران ۱۳۸۷). با توجه به اینکه پارامترهای هواشناسی زیادی در جذب تابش خالص رسیده به زمین نقش دارند، در این تحقیق سعی شد تا با گردآوری داده‌های مؤثر در تابش خالص و لحاظ نمودن آن‌ها به عنوان ورودی در شبکه عصبی به یک پیش‌بینی دقیقی از این پارامتر پردازیم. پارامترهای هواشناسی مورداستفاده در این مطالعه عبارت‌اند از: تابش کل خورشیدی، ابرناکی، رطوبت نسبی، ساعات آفتابی، بیشینه، کمینه و میانگین دمای روزانه، دید افقی، فشار هوا، فشار بخار هوا، دمای خاک، سرعت باد و بارش. قابل ذکر است که همه پارامترهای مورداستفاده در این مطالعه روزانه می‌باشد و شبکه عصبی با این پارامترها آموزش یافته‌اند و درنهایت پیش‌بینی‌های داده مدل شده حاصل از شبکه عصبی با داده‌های واقعی مقایسه می‌شوند. لازم به ذکر است که بهترین ساختار شبکه با کمترین میزان خطای شناسایی می‌شود. شکل ۵ مدل شبکه عصبی پرسپیترون چندلایه به کاررفته در این تحقیق را نشان می‌دهد.

میر گلوی بیات (۱۳۹۰) مدل تجربی ایرماک را مدل بهینه تابش خالص در مناطق سرد و خشک معرفی نمودند. ایرماک و همکاران (۲۰۰۳) جهت پیش‌بینی تابش خالص روزانه دو مدل تجربی را ارائه کردند که به کمترین داده‌های اقلیمی برای تخمین تابش خالص نیاز داشت. مدل به داده‌های تابش کل اندازه‌گیری شده، دمای کمینه و بیشینه و ضریب فاصله زمین تا خورشید نیاز دارد:

که، O و S به ترتیب مقادیر مشاهده شده و شبیه سازی شده تابش هستند و n تعداد داده ها است.

نتایج و بحث

در این مطالعه به منظور پیش بینی و مدل سازی تابش خالص از پرسپکترون چند لایه استفاده گردید.تابع انتقال برای لایه ورودی و خروجی یک تابع خطی و برای لایه مخفی، تابع سیگموئید در نظر گرفته شد. گرالو و همکاران (۲۰۱۱) نیز به منظور پیش بینی تابش خالص از این مدل استفاده نمودند و نتایج قابل قبول را به دست آورده اند. برای دستیابی به ساختار بهینه شبکه عصبی، مدل های مختلف و تعداد و نوع ورودی های شبکه مورد آزمون های مکرر و تحلیل قرار گرفت. برای این منظور از داده های روزانه ۱۲ ماه از دسامبر ۲۰۱۱ تا دسامبر ۲۰۱۲ استفاده گردید. آماره های مورداستفاده و پراکنش آنها در جدول ۱ آورده شده است.

شبکه عصبی مقایسه گردد. برای برآورد تابش خالص توسط مدل ایرماک پارامترهای هواشناسی دمای کمینه و بیشینه و تابش کل خورشیدی همدان در مقیاس روزانه در طول دوره آماری مشابه با شبکه عصبی آماده گردید. ابتدا مدل ایرماک مورد واسنجی قرار گرفت، به این صورت که ۷۰ درصد داده ها جهت واسنجی و ۳۰ درصد بقیه جهت اعتبارسنجی مورداستفاده قرار گرفتند. برای ارزیابی خطای مدل های پیش بینی تابش از نمایه های ریشه دوم میانگین مربعات خطای RMSE، میانگین مطلق خطای MAE فاکس (۱۹۸۱)، کسر اریب FB و نمایه میانگین خطای اریب MBE آدیسکوت و وایتمور (۱۹۸۷) استفاده شد. این سنجه ها به صورت زیر محاسبه می شوند:

$$RMSE = \sqrt{\sum_{i=1}^n (O_i - S_i)^2 / n} \quad [6]$$

$$MAE = \frac{1}{n} \sum_{i=1}^n |S_i - O_i| \quad [7]$$

جدول ۱- پارامترهای هواشناسی مورداستفاده در تحقیق.

پارامتر	نماد	میانگین	بیشینه	کمینه	انحراف معیار							
TSR	$Wm^{-2}day^{-1}$	T_{max}	T_{min}	T_{ave}	T_{soil}	sun shine (hr)	Rain 24 (mm)	WS $(m s^{-1})$	VP (kPa)	RH (%)	CF (Octa)*	R_n $Wm^{-2}day^{-1}$
۳۱۸۱۱	۱۸	۳	۱۱	۵	۸	۰/۶۳	۶/۵	۰/۶	۵۱	۲/۵	۱۵۸۱۵	
۵۸۰۰۹	۳۸	۱۷	۲۶	۲۷	۱۳	۱۷	۲۰	۱/۲	۹۶	۸	۳۲۷۸۱	
۱۰۵۷	-۴	-۱۶	-۹	۲۳	۰	۰	۰	۰/۲	۱۸	۰	۱۰۸۱	
۱۵۹۱	۱۱	۸	۹	۱۲	۲/۳	۲	۳	۰/۲	۲۰	۲	۸۰۱۰	

*اوکتا معادل یک هشتمن کل پوشش آسمان است.

قابل ذکر است در جدول ۲ تمامی پارامترهای مورداستفاده در سطح ۹۹ درصد معنی دار می باشند. ضریب همبستگی ۰ و مقدار آماره های خطاسنجی بیان گر دقت قابل قبول مدل و برتری آن نسبت به مدل دیگر است.

به منظور بررسی پارامترهای مختلف اقلیمی مؤثر در تابش خالص، همبستگی هر یک از پارامترها با تابش خالص در نرم افزار SPSS19 محاسبه گردید. نتایج مربوطه در جدول ۲ آورده شده است.

نتایج نشان داد که همبستگی همه پارامترها با تابش خالص در سطح یک درصد معنی دار بودند.

جدول ۲- ضرایب همبستگی پارامترهای هواشناسی با تابش خالص.

نرون	نرون	نرون	نرون	نرون	نرون	نرون	نرون	نرون	نرون	نرون	نرون	نرون	نرون
-۰/۶۳	۰/۲۷	-۰/۲۰	۰/۹۴	۰/۶۴	۰/۶۸	۰/۴۰	۰/۴۵	۰/۶۰	۰/۵۹	۰/۷۶	۰/۷۶	۰/۷۶	۰/۷۶
نرون	نرون	نرون	نرون	نرون	نرون	نرون	نرون	نرون	نرون	نرون	نرون	نرون	نرون
نرون	نرون	نرون	نرون	نرون	نرون	نرون	نرون	نرون	نرون	نرون	نرون	نرون	نرون
نرون	نرون	نرون	نرون	نرون	نرون	نرون	نرون	نرون	نرون	نرون	نرون	نرون	نرون

نرون‌ها دارای کمترین مقدار بود و میزان آن برابر با ۰/۰۵۵ به دست آمد. در دولایه مخفی به طور محسوسی میزان خطا نسبت به یک‌لایه مخفی افزایش پیدا کرد. با توجه به اینکه ساختار بهینه شبکه عصبی دارای کمترین میزان خطا است، لذا در این تحقیق یک شبکه عصبی با آرایش سه‌لایه (یک‌لایه ورودی، یک‌لایه مخفی و یک‌لایه خروجی) با ۲ نرون در یک‌لایه مخفی بهمنزله بهترین ساختار شبکه عصبی برای برآورد پارامتر تابش خالص در همدان و اقلیم سرد و نیمه‌خشک پیشنهاد می‌شود. ارزیابی عملکرد شبکه عصبی با آرایش بهینه ۱-۲-۱۱ و تابش خالص اندازه‌گیری شده در شکل ۷ آورده شده است. این شکل بیان‌گر مطابقت مناسب مقادیر مدل و مقادیر اندازه‌گیری شده بوده و نمایان‌گر توانایی زیاد مدل در پیش‌بینی تابش خالص می‌باشد. در شکل ۸ مدل و مقادیر اندازه‌گیری آورده شده است که ضریب تعیین (R^2) به دست آمده برابر با ۰/۹۵ هست. نتایج این مطالعه توانایی بالای شبکه عصبی را در تخمین تابش خالص روزانه نشان داد. به دلیل هزینه بالای اندازه‌گیری تابش خالص توسط لاغرهای مربوطه و کمبود دستگاه‌های اندازه‌گیری در ایران، شبکه عصبی می‌تواند یک مدل مناسب برای پیش‌بینی تابش خالص باشد. نتایج حاصل از مدل شبکه عصبی انجام شده، مطابقت مناسبی را با نتایج گرالدو و همکاران (۲۰۱۱) نشان داد. آن‌ها بهمنظور پیش‌بینی تابش خالص خورشیدی در منطقه اسپانیا و برزیل از شبکه عصبی مصنوعی استفاده نمودند و از داده‌های اندازه‌گیری شده توسط پرانومنتر، جهت واسنجی مدل بهره بردن. نتایج آن‌ها نشان داد که شبکه عصبی و روش

برای هرکدام از الگوهای ورودی با تغییر در تعداد لایه‌های پنهان و تعداد نرون‌های لایه پنهان که اغلب به صورت سعی و خطا صورت می‌گیرد، شبکه‌های عصبی گوناگونی ساخته شده و پس از آموزش شبکه، بهترین ساختار برای هر الگو انتخاب شده است. محاسبات مربوط به شبکه عصبی با نرم‌افزار Qnet صورت گرفت. نتایج نمایه‌های خطای حاصل از آرایش بهینه شبکه عصبی در پیش‌بینی تابش خالص در جدول ۳ آورده شده است. همان‌طور که توضیح داده شد ۱۱ پارامتر ورودی در طراحی شبکه عصبی به کار گرفته شد. پس از اعمال تکرار در آرایش بهینه شبکه و تحلیل حساسیت پارامترهای ورودی مختلف، آرایش بهینه شبکه عصبی در مدل‌سازی تابش خالص به صورت ۱-۱۱-۲ به دست آمد که دارای حداقل خطای ممکن بود. بر اساس تحلیل حساسیت در محیط Excel 2007، به ترتیب پارامترهای تابش کل خورشیدی، رطوبت نسبی، درجه ابرناکی، دمای میانگین، دمای خاک و ساعات آفتابی بیشترین حساسیت را به تابش خالص نشان دادند. ساختار مطلوب شبکه در تعداد ۱۰۰۰۰ دور تکرار برای آموزش به دست آمد. تعداد متفاوت نرون‌ها در لایه مخفی و انتخاب ساختار بهینه شبکه عصبی با استفاده از روش سعی و خطا در تعداد نرون‌های متفاوت در یک و نتایج سعی و خطا در تعداد نرون‌های متفاوت پذیرفت. شکل ۶ نشان‌گر دولایه مخفی بهمنظور به دست آوردن مدل بهینه شبکه عصبی می‌باشد. در ساختار یک‌لایه مخفی از تعداد ۵ نرون به بعد میزان خطا RMSE در حدود هزارم درصد تغییر کرد و از آن به بعد نوسان خطا نامحسوس شد. خطا در ۲ نرون در مقایسه با سایر

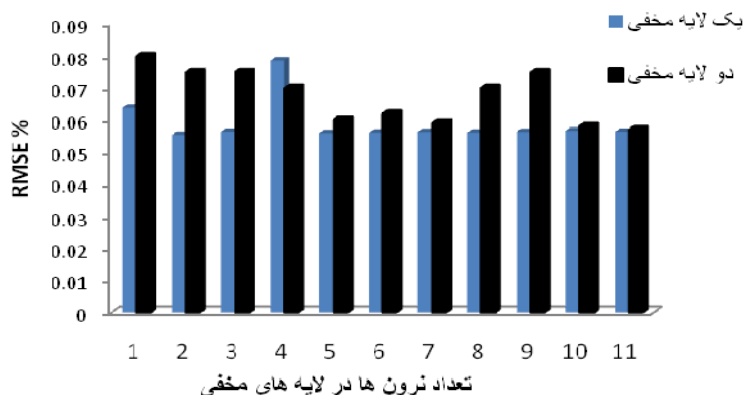
تحقیق حاضر سعی شد با استفاده از پارامترهای ورودی هواشناسی مؤثرتر در تابش خالص به پیش-بینی آن بپردازیم و نتایج به دست آمده حاکی از دقت بالای مدل طراحی شده در پیش‌بینی تابش خالص می-باشد.

پرسپکترون چندلایه با مقدار خطای $17/6$ RMSE وات بر مترمربع در روز در برآورد این پارامتر بسیار مؤثر می‌باشد. آنان در تحقیق خود از ۴ پارامتر و ورودی در شبکه عصبی استفاده نمودند که شامل سرعت باد، دمای میانگین هوا، فشار هوا و رطوبت نسبی بود. در

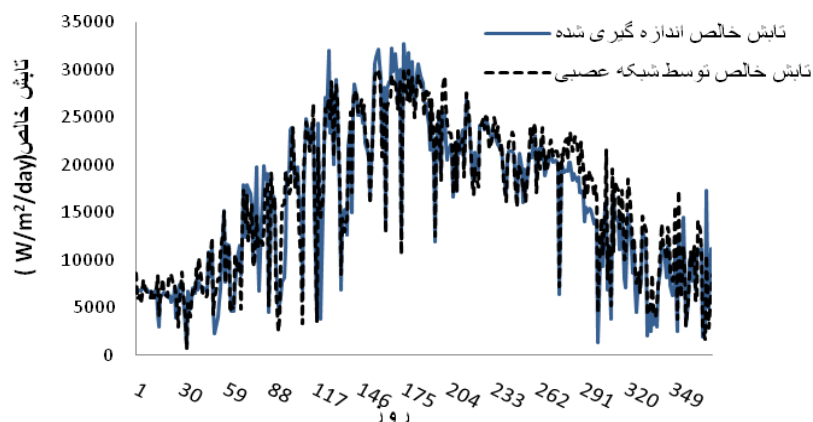
جدول ۳- آماره‌های خطای حاصل از آرایش بهینه شبکه عصبی در پیش‌بینی تابش خالص.

آماره	آموزش	صحت سنجی
r	.۹۷	.۹۴
$RMSE^*$	۸۰۵	۱۳۷۷
MAE^*	۲۵۳	۶۲۸

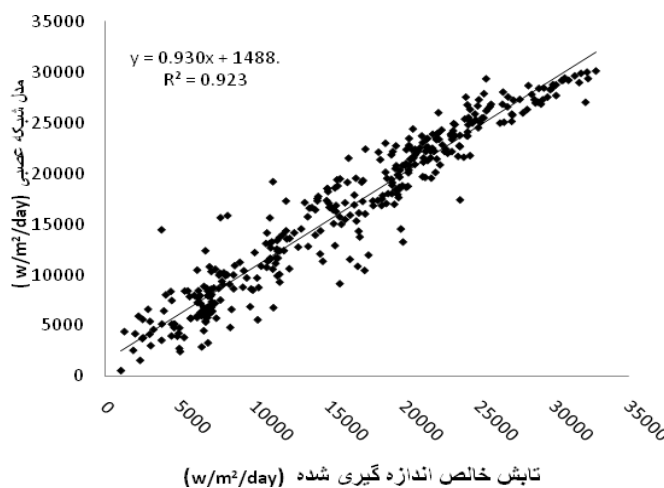
* واحد این معیارهای آماری وات بر مترمربع در روز ($Wm^{-2}day^{-1}$) می‌باشد.



شکل ۶- مقایسه تغییرات خطای افزایش تعداد نرون در لایه مخفی برای ساختار بهینه شبکه عصبی.



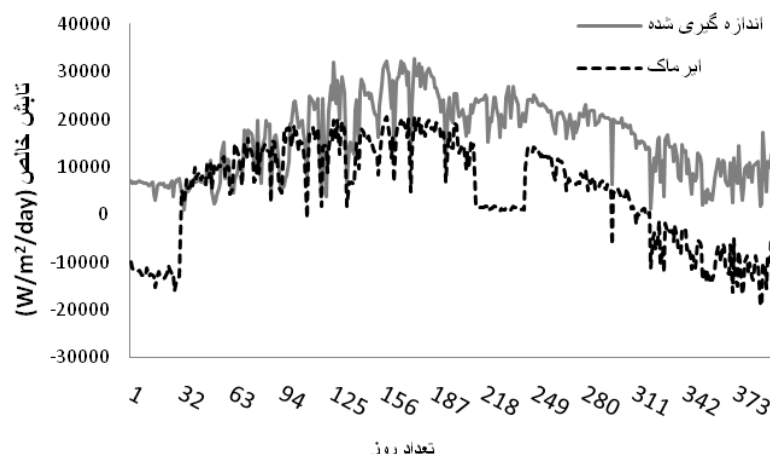
شکل ۷- مقایسه نتایج حاصل از روش شبکه عصبی با مقادیر اندازه‌گیری شده تابش خالص خورشیدی (وات بر مترمربع در روز).



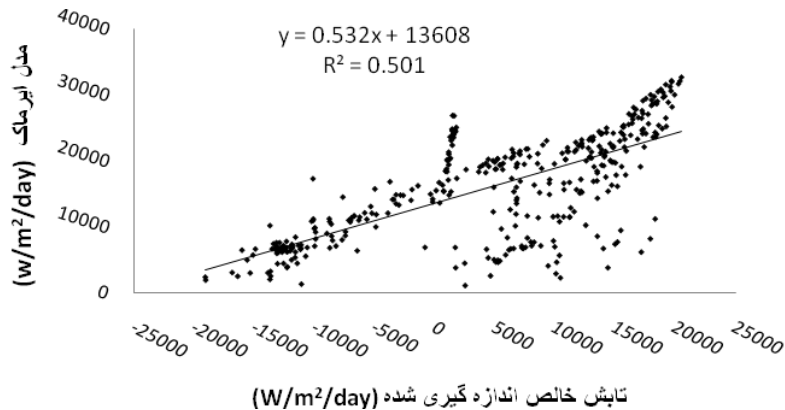
شکل ۸- رابطه رگرسیونی بین مقادیر تابش روزانه پیش‌بینی شده با روش شبکه عصبی منتخب با مقادیر اندازه‌گیری شده در ایستگاه همدان (وات بر مترمربع در روز).

از عملکرد بالاتری در تخمین تابش خالص برخوردار بوده است و با افزایش دما در طول فصل‌های گرم از عملکرد آن کاسته شده است. رابطه همبستگی بین مدل ایرماک و مقادیر اندازه‌گیری در شکل ۱۰ آورده شده است که نشان‌دهنده همبستگی نسبتاً کم مدل ایرماک در تخمین تابش خالص می‌باشد. همچنین نتایج حاصل از نمایه‌های خطای مدل ایرماک در تخمین تابش خالص در جدول ۴ آورده شده است.

تابع خالص روزانه حاصل از مدل ایرماک همانند مدل شبکه عصبی در طول دوره مشابه برآورد شد. مقایسه مقادیر اندازه‌گیری شده از مدل ایرماک و مقادیر مشاهداتی در شکل ۹ آورده شده است. ابتدا مدل ایرماک مورد واسنجی قرار گرفت، ۷۰ درصد داده‌ها به عنوان واسنجی و ۳۰ درصد بقیه جهت اعتبارسنجی مورداستفاده قرار گرفت. با توجه به شکل، مدل ایرماک در سه ماه اول سال ۲۰۱۱ میلادی نسبت به سایر ماه‌ها



شکل ۹- مقایسه نتایج حاصل از مدل ایرماک با مقادیر اندازه‌گیری شده تابش خالص خورشیدی (وات بر مترمربع در روز).



شکل ۱۰- رابطه رگرسیونی بین مقادیر تابش روزانه پیش‌بینی شده با مدل ایرماک با مقادیر اندازه‌گیری شده روزانه تابش خالص خورشیدی (وات بر مترمربع در روز).

جدول ۴- نمایه‌های خطای حاصل از کاربرد مدل ایرماک در پیش‌بینی تابش خالص.

نمایه خطای حاصل از کاربرد مدل ایرماک در پیش‌بینی تابش خالص.	اعتبارسنجی	مدل ایرماک	واسنجی	۰/۹۰
<i>R</i>		۰/۷۰	۰/۶۳	۰/۹۰
<i>RMSE</i>	۱۳۶۱۴	۱۱۷۸۱	۱۶۸۵۲	۱۶۴۶۹
<i>MAE</i>	۶۵۰۳	۹۸۶۹	۱۱۷۸۱	۱۶۸۵۲

* واحد معیارهای آماری دو ردیف آخر وات بر مترمربع در روز ($\text{Wm}^{-2}\text{day}^{-1}$) می‌باشد.

فصل زمستان و بهار نشان داد و مقادیر نمایه‌های خطای حاصل از مدل ایرماک در فصل زمستان ۲۰۱۲ کمتر از سایر فصل‌ها به دست آمد. مدل شبکه عصبی، بیشترین ضریب همبستگی را در زمستان و بهار نشان داده و مقدار خطای ناچیزی را نسبت به مدل ایرماک در کلیه فصل‌ها از خود نشان داد (جدول ۵).

باتوجه به همبستگی ضعیف مدل واسنجی شده ایرماک و داده‌های اندازه‌گیری شده و نزدیک بودن این دو مقادیر در دوردهای خاص، همبستگی فصلی بین مقادیر پیش‌بینی شده از مدل ایرماک و داده‌های اندازه‌گیری شده تابش خالص بررسی گردید. ضرایب همبستگی فصلی، بالاترین مقدار را در مدل ایرماک به ترتیب در

جدول ۵- نمایه‌های خطای ماهانه حاصل از مدل ایرماک و شبکه عصبی در تخمین تابش خالص.

آماره	مدل	ایرماک	ANN	RMSE
زمستان	۰/۷۲	۰/۹۲	۴۹۶۷	۸۸۰
بهار	۰/۷۹	۰/۸۲	۹۲۳۱	۱۲۵۶
تابستان	۰/۶۷	۰/۸۵	۱۶۴۶۳	۸۰۰
پاییز	۰/۶۹	۰/۹۰	۱۹۴۶۹	۱۱۳۰

* واحد *RMSE* وات بر مترمربع در روز ($\text{Wm}^{-2}\text{day}^{-1}$) می‌باشد.

توجه به مقدار خطای کمینه انتخاب شد. بنابراین ساختار بهینه شبکه با آرایش ۱۱-۲-۱ برای منطقه همدان به دست آمد. نتایج نشان داد که شبکه عصبی با ضریب تعیین ۹۵٪ و نمایه‌های خطای MAE , $RMSE$ و MBE به ترتیب با مقادیر ۸۵۰، ۳۹۳ و ۴۹ وات بر مترمربع در روز، از عملکرد بالایی در پیش‌بینی تابش خالص برخوردار است و با آزمون و خطاهای مکرر و تحلیل حساسیت می‌توان مقدار نمایه‌های خطای را به حداقل رساند. نتایج نشان داد که مدل ایرماک با ضریب تعیین ۵۵٪ عملکرد پائینی را در برآورد تابش خالص در منطقه همدان دارا می‌باشد.

نتیجه‌گیری کلی

در این تحقیق سعی شد مؤثرترین پارامترهای هواشناسی اثرگذار بر مقدار تابش خالص خورشیدی در سطح زمین شناسایی و انتخاب گردند و با استفاده از آن‌ها در ساختار شبکه عصبی تابش خالص روزانه در منطقه همدان پیش‌بینی شود. همچنین تابش خالص روزانه با استفاده از روش ایرماک برآورد گردید و درنهایت نتایج به دست آمده از هر دو مدل با داده‌های اندازه‌گیری شده تابش خالص در منطقه همدان مورد مقایسه و ارزیابی قرار گرفت. پس از انجام سعی و خطاهای مختلف در ساختار شبکه عصبی، مدل بهینه با

منابع مورد استفاده

سبزی پرورع، علیائی ا، ۱۳۹۰. ارزیابی عملکرد شبکه عصبی مصنوعی در پیش‌بینی تابش خورشیدی کل روزانه و مقایسه آن با نتایج مدل آنگستروم (مطالعه موردی: ایستگاه همدیدی تبریز). مجله ژئوفیزیک ایران، جلد ۵، شماره ۳، صفحه‌های ۳۰ تا ۴۱.

سلطانی س، مرید س، ۱۳۸۴. مقایسه برآورد تابش خورشید با استفاده از روش هارگریوز - سامانی و شبکه‌های عصبی مصنوعی. مجله دانش کشاورزی، جلد ۱۵، شماره ۱، صفحه‌های ۶۹ تا ۷۷.

علیائی ا، قربانی م و جباری خامنه ع، ۱۳۸۷. عملکرد حافظه مدل اتورگرسیو و شبکه‌های عصبی مصنوعی در پیش‌بینی جریان روزانه رودخانه لیقوان. مجموعه مقالات سومین کنفرانس مدیریت منابع آب ایران، تبریز، دانشگاه تبریز. میرگلوی بیات ر، ۱۳۹۰. ارزیابی برخی مدل‌های منتخب تابش خالص خورشیدی به منظور برآورد دقیق تبخیر و تعرق مرجع روزانه با مدل پنمن مانتیث فائو - ۵۶. پایان‌نامه کارشناسی ارشد رشته آبیاری و زهکشی، دانشکده کشاورزی دانشگاه بوعلی سینا.

Addiscott TM and Whitmore AP, 1987. Computer simulation of changes in soil mineral nitrogen and crop nitrogen during autumn, winter and spring. Journal of Agricultural Science 109: 141-157.

Blonquist J, Allen RG and Bugbee B, 2010. An evaluation of the net radiation sub-model in the ASCE standardized reference evapotranspiration equation: Implications for evapotranspiration prediction. Agricultural Water Management 97: 1026-1038.

Carrasco M and Ortega-Farias S, 2008. Evaluation of a model to simulate net radiation over a vineyard cv.Cabernet Sauvignon. Chilean Journal of Agricultural Research 68(2): 156-165.

Di Long L, Yanchun G, Vijay P and Singh H, 2010. Estimation of daily average net radiation from MODIS data and DEM over the Baiyangdian watershed in North China for clear sky days. Journal of Hydrology 388: 217-233.

Fox D, 1981. Judging air quality model performance: a summary of the AMS workshop on dispersion models performance. Bull Am Meteorol Soc 62: 599-609.

Geraldo-Ferreira A, Soria-Olivas E, Gomez-Sanchis J, Serrano-Lopez A, Velazquez-Blazquez A and Lopez-Baeza E, 2011. Modelling net radiation at surface using “in situ” Netpyrroadiometer measurements with artificial neural networks. Expert Systems with Applications 38:14190-14195.

Irmak M, Asce A, Irmak J, Jones W, Howell M, Asce J, Jacobs R. G, Allen M and Hoogenboom G, 2003. Predicting Daily Net Radiation Using Minimum Climatological Data. Journal of Irrigation and Drainage Engineering. 131(4) :389-413.

Juan C, Jimenez M, Jose A, Sobrino and Cristian M, 2012. Recent trends in solar energy and net radiation at global scale. Ecological Modeling 228: 59– 65.

- Kambezidis HD, Kaskaoutis B, Shailesh K, Krishna Moorthy K, Satheesh SK, Kalapureddy MCR, Badarinath KVS, Anu Rani S and Wild M, 2012. Multi-decadal variation of the net downward shortwave radiation over south Asia: The solar dimming effect. *Atmospheric Environment* 50: 360-372.
- Linares-Rodriguez A, Antonio Ruiz-Arias J, Pozo-Vazquez D and ovar-Pescador J, 2011. Generation of synthetic daily global solar radiation data based on ERA-Interim reanalysis and artificial neural networks. *Energy* 36: 5356-53652.
- Lopez G, Rubio M, Martinez, M and Batlles F, 2001. Estimation of hourly global photosynthetically active radiation using artificial neural network models. *Agricultural and Forest Meteorology* 107: 279-291.
- Mohandes M, Rehman S, Halawani T. O, 1998. Estimation of global solar radiation using artificial neural networks. *Renew Energy* 14: 179-184.
- Monteith, J. Szeicz, G. 1962 Radiative temperature in the heat balance of natural surface. *Quarterly Journal of the Royal Meteorological Society* 88: 496-507.
- Mubiru J, Banda K. B, 2008. Estimation of monthly average daily global solar irradiation using artificial neural networks. *Solar Energy* 82: 1-7.
- Notton G, Paoli C, Ivanova L, Vasileva S, Laure Nivet M, 2013. Neural network approach to estimate 10-min solar global irradiation values on tilted planes. *Renewable Energy*, 50:576-584.
- Prentice-Hall Ji, Kang E, Zhao W, Zhang Z and Jin B, 2009. Simulation of heat and water transfer in a surface irrigated, cropped sandy soil. *Agricultural Water Management* 96(6): 1010–1020.
- Samani, Z. Bawazir, S. Bleiweiss, M. Skaggs, R and Vien, D, 2007. Estimating Daily Net Radiation over Vegetation Canopy through Remote Sensing and Climatic Data. *ASCE* 133:4-291.
- Stergiou C, Siganos D, 2008. Neural networks, http://www.doc.ic.ac.uk/nd/surprise_96/journal/vol4/cs11/report.html (visited: 2012).
- Zarzalejo L, Ramirez L, Polo J, 2005. Artificial intelligence techniques applied to hourly global irradiance estimation from satellite-derived cloud index. *Energy* 30(9): 1685-1697.